

# Распад $\tau \rightarrow K^- \eta \nu_\tau$ в расширенной модели Намбу–Иона-Лазинио с учетом взаимодействия мезонов в конечном состоянии

М. К. Волков<sup>1)</sup>, А. А. Пивоваров<sup>1)</sup>

Лаборатория теоретической физики им. Н. Н. Боголюбова,  
Объединенный институт ядерных исследований, 141980 Дубна, Россия

Поступила в редакцию 23 июня 2021 г.

После переработки 20 июля 2021 г.

Принята к публикации 21 июля 2021 г.

Ширина распада  $\tau \rightarrow K^- \eta \nu_\tau$  вычислена в рамках расширенной модели Намбу–Иона-Лазинио с учетом взаимодействия мезонов в конечном состоянии. При этом были учтены как контактный член, так и канал с промежуточным основным состоянием  $K^*(892)$  и его первым радиальным возбуждением  $K^*(1410)$ . Для описания взаимодействия в конечном состоянии была рассмотрена треугольная диаграмма с тремя мезонами. Причем параметр обрезания расходящихся интегралов по мезонной петле брался равным значению соответствующего параметра, использованного в нашей предыдущей работе при описании распада  $\tau \rightarrow K^- \pi^0 \nu_\tau$ . Таким образом, в данной работе не появилось дополнительных произвольных параметров. При этом получено удовлетворительное согласие с экспериментальными данными.

DOI: 10.31857/S1234567821160011

**1. Введение.** Как показали многочисленные расчеты, модель Намбу–Иона-Лазинио (НИЛ) [1–4] позволяет удовлетворительно описать многие основные распады тау лептона. В рамках этой модели в согласии с экспериментальными данными были описаны целые серии распадов тау лептона:  $\tau \rightarrow M \nu_\tau$ ,  $\tau \rightarrow VP \nu_\tau$ , где  $V$  – векторный мезон,  $P$  – псевдоскалярный мезон,  $M$  – псевдоскалярный или векторный мезон [4–11]. Однако некоторые процессы тау-распадов на псевдоскалярные мезоны не удается описать в рамках модели НИЛ в согласии с экспериментом. Это может быть связано с необходимостью учета взаимодействия мезонов в конечном состоянии. Такой учет требует более высокого порядка разложения по  $1/N_c$ , чем тот, в котором сформулирована модель НИЛ. Взаимодействие в конечном состоянии с небольшим выходом за рамки данной модели было рассмотрено в недавних работах в процессах  $\tau^- \rightarrow \pi^- \pi^0 \nu_\tau$  [12] и  $\tau^- \rightarrow K^- \pi^0 \nu_\tau$  [13]. У данных распадов порог рождения конечных мезонов находится ниже масс промежуточных основных состояний  $\rho(770)$  и  $K^*(892)$  соответственно. Поэтому возбужденные состояния здесь не вносят существенный вклад. В отличие от них, процесс  $\tau^- \rightarrow K^- \eta \nu_\tau$  имеет порог рождения конечных мезонов выше массы основного состояния  $K^*(892)$ , в результате чего этот процесс становится чувствительным к резонансу  $K^*(1410)$ , который начинает играть существенную

роль. Поэтому данный процесс, будучи схожим по структуре с процессом  $\tau^- \rightarrow K^- \pi^0 \nu_\tau$ , оказывается более полезным для изучения возбужденных состояний мезонов.

В настоящей работе мы рассматриваем процесс  $\tau^- \rightarrow K^- \eta \nu_\tau$  с учетом взаимодействия мезонов в конечном состоянии. По структуре он схож с распадом  $\tau^- \rightarrow K^- \pi^0 \nu_\tau$ , однако из-за большой роли резонанса  $K^*(1410)$  для его исследования применяется расширенная модель НИЛ [14, 15], позволяющая описать первые радиально возбужденные состояния мезонов без нарушения  $U(3) \times U(3)$  киральной симметрии, и также производится выход за ее рамки для учета взаимодействия в конечном состоянии. Для описания этого взаимодействия в данном случае требуется учесть лишь одну треугольную диаграмму с обменом заряженным векторным мезоном  $K^{*\pm}(892)$ . Однако сами мезонные вершины в этом треугольнике более сложны из-за особенностей структуры  $\eta$  мезона. Интересным является тот факт, что величины обрезания мезонных треугольников процессов  $\tau^- \rightarrow K^- \eta \nu_\tau$  и  $\tau^- \rightarrow K^- \pi^0 \nu_\tau$  оказываются одинаковыми.

Процесс  $\tau^- \rightarrow K^- \eta \nu_\tau$  изначально исследовался экспериментально коллаборациями CLEO [16] и ALEPH [17]. Позже коллаборации Belle [18] и Babar [19] провели более точные измерения этого процесса.

Данный процесс также исследовался теоретически. Например, в работе [20] он рассматривается с помощью модели векторной доминантности и эффе-

<sup>1)</sup>e-mail: volkov@theor.jinr.ru; tex\_k@mail.ru

тивной киральной теории. В работе [21] для его рассмотрения используется киральная теория возмущений с резонансами.

## 2. Лагранжиан расширенной модели НИЛ

Фрагмент кирального кварк-мезонного лагранжиана расширенной модели НИЛ, содержащий нужные нам вершины, принимает следующий вид [4]:

$$\begin{aligned} \Delta L_{\text{int}} = \bar{q} \left[ \frac{1}{2} \gamma^\mu \sum_{j=\pm} \lambda_j^K \left( A_{K^*} K_\mu^{*j} + B_{K^*} K_\mu^{*j} \right) + \right. \\ \left. + i\gamma^5 \sum_{j=\pm} \lambda_j^K \left( A_K K^j + B_K K^{j'} \right) + \right. \\ \left. + i\gamma^5 \sum_{j=u,s} \lambda_j^\eta A_{\eta j} \eta^j \right] q, \end{aligned} \quad (1)$$

где  $q$  и  $\bar{q}$  – поля  $u$ -,  $d$ - и  $s$ -кварков с составляющими массами  $m_u \approx m_d = 280$  МэВ,  $m_s = 420$  МэВ, возбужденные мезонные состояния отмечены штрихом. Множители  $A$  и  $B$  для странных мезонов имеют вид:

$$\begin{aligned} A_M = \frac{1}{\sin(2\theta_M^0)} \times \\ \times \left[ g_M \sin(\theta_M + \theta_M^0) + g'_M f_M(k_\perp^2) \sin(\theta_M - \theta_M^0) \right], \\ B_M = \frac{-1}{\sin(2\theta_M^0)} \times \\ \times \left[ g_M \cos(\theta_M + \theta_M^0) + g'_M f_M(k_\perp^2) \cos(\theta_M - \theta_M^0) \right]. \end{aligned} \quad (2)$$

Индекс  $M$  обозначает соответствующий мезон.

Для  $\eta$ -мезона множитель  $A$  принимает несколько другую форму. Это связано с тем, что в случае  $\eta$ -мезона смешиваются не два, а четыре состояния [4]:

$$\begin{aligned} A_{\eta^u} = 0.71g_{\eta^u} + 0.11g'_{\eta^u} f_{uu}(k_\perp^2), \\ A_{\eta^s} = 0.62g_{\eta^s} + 0.06g'_{\eta^s} f_{ss}(k_\perp^2). \end{aligned} \quad (3)$$

$f(k_\perp^2) = (1 + dk_\perp^2) \Theta(\Lambda^2 - k_\perp^2)$  – формфактор, описывающий первые радиально возбужденные мезонные состояния. Параметр наклона  $d$  однозначно фиксируется из требования неизменности кваркового конденсата после включения радиально возбужденных состояний и зависит только от кваркового состава соответствующего мезона:

$$\begin{aligned} d_{uu} = -1.784 \times 10^{-6} \text{ МэВ}^{-2}, \\ d_{us} = -1.761 \times 10^{-6} \text{ МэВ}^{-2}, \\ d_{ss} = -1.737 \times 10^{-6} \text{ МэВ}^{-2}. \end{aligned} \quad (4)$$

Поперечный относительный импульс внутренней кварк-антикварковой системы может быть представлен в виде

$$k_\perp = k - \frac{(kp)p}{p^2}, \quad (5)$$

где  $p$  – импульс мезона. В системе покоя мезона

$$k_\perp = (0, \mathbf{k}). \quad (6)$$

Поэтому данный импульс может быть использован в трехмерном виде.

Параметры  $\theta_M$  – углы смешивания, которые фиксируются в результате диагонализации свободного лагранжиана с основными и первыми радиально возбужденными состояниями [4, 15]:

$$\theta_K = 58.11^\circ, \quad \theta_{K^*} = 84.74^\circ. \quad (7)$$

Вспомогательные величины  $\theta_M^0$  вводятся для удобства:

$$\begin{aligned} \sin(\theta_M^0) = \sqrt{\frac{1+R_M}{2}}, \\ R_{K^*} = \frac{I_{11}^{f_{us}}}{\sqrt{I_{11} I_{11}^{f_{us}^2}}}, \quad R_K = \frac{I_{11}^{f_{us}}}{\sqrt{Z_K I_{11} I_{11}^{f_{us}^2}}}, \end{aligned} \quad (8)$$

где

$$\begin{aligned} Z_K = \left( 1 - \frac{3(m_u + m_s)^2}{2M_{K_{1A}}^2} \right)^{-1}, \\ M_{K_{1A}} = \left( \frac{\sin^2 \alpha}{M_{K_1(1270)}^2} + \frac{\cos^2 \alpha}{M_{K_1(1400)}^2} \right)^{-1/2}. \end{aligned} \quad (9)$$

Здесь  $Z_K$  – дополнительная константа перенормировки, появляющаяся в  $K - K_1$  переходах,  $M_{K_1(1270)} = 1253 \pm 7$  МэВ – масса мезона  $K_1(1270)$ ,  $M_{K_1(1400)} = 1403 \pm 7$  МэВ – масса мезона  $K_1(1400)$  [22]. В указанном выражении для  $Z_K$  учтено расщепление состояния  $K_{1A}$  на два физических мезона  $K_1(1270)$  и  $K_1(1400)$  с углом смешивания  $\alpha = 57^\circ$  [6].

Интегралы, появляющиеся в кварковых петлях как результат перенормировки лагранжиана:

$$\begin{aligned} I_{n_1 n_2}^{f^m} = -i \frac{N_c}{(2\pi)^4} \times \\ \times \int \frac{f^m(\mathbf{k}^2)}{(m_u^2 - k^2)^{n_1} (m_s^2 - k^2)^{n_2}} \Theta(\Lambda^2 - \mathbf{k}^2) d^4 k, \end{aligned} \quad (10)$$

где  $\Lambda = 1.03$  ГэВ – параметр трехмерного обрезания.

Тогда

$$\theta_K^0 = 55.52^\circ, \quad \theta_{K^*}^0 = 59.56^\circ. \quad (11)$$

Матрицы  $\lambda$  – линейные комбинации матриц Гелл-Мана:

$$\begin{aligned} \lambda_+^K = \frac{\lambda_4 + i\lambda_5}{\sqrt{2}}, \quad \lambda_-^K = \frac{\lambda_4 - i\lambda_5}{\sqrt{2}}, \\ \lambda_u^\eta = \frac{2\lambda_0 + \sqrt{3}\lambda_8}{3}, \quad \lambda_s^\eta = \frac{-\sqrt{2}\lambda_0 + \sqrt{6}\lambda_8}{3}, \end{aligned} \quad (12)$$

где  $\lambda_0$  – единичная матрица.

Константы связи:

$$\begin{aligned} g_{K^*} &= \left(\frac{2}{3}I_{11}\right)^{-1/2}, & g'_{K^*} &= \left(\frac{2}{3}I_{11}^{f^2}\right)^{-1/2}, \\ g_K &= \left(\frac{4}{Z_K}I_{11}\right)^{-1/2}, & g'_K &= \left(4I_{11}^{f^2}\right)^{-1/2}, \\ g_{\eta^u} &= \left(\frac{4}{Z_{\eta^u}}I_{20}\right)^{-1/2}, & g'_{\eta^u} &= \left(4I_{20}^{f^2}\right)^{-1/2}, \\ g_{\eta^s} &= \left(\frac{4}{Z_{\eta^s}}I_{02}\right)^{-1/2}, & g'_{\eta^s} &= \left(4I_{02}^{f^2}\right)^{-1/2}, \end{aligned} \quad (13)$$

где

$$\begin{aligned} Z_{\eta^u} &\approx Z_\pi = \left(1 - 6\frac{m_u^2}{M_{a_1}^2}\right)^{-1}, \\ Z_{\eta^s} &= \left(1 - 6\frac{m_s^2}{M_{f_1^s}^2}\right)^{-1}. \end{aligned} \quad (14)$$

Здесь  $Z_{\eta^s}$  – дополнительная константа перенормировки, появляющаяся в переходах между аксиально-векторным мезоном  $f_1(1420)$  и  $s$ -кварковой частью  $\eta$  мезона,  $M_{f_1^s} = 1426 \pm 0.9$  МэВ [22]. Параметр  $Z_{\eta^u}$  в модели НИЛ обычно принимается приблизительно равным параметру  $Z_\pi$ , возникающему в результате  $a_1 - \pi$  переходов,  $M_{a_1} = 1230 \pm 40$  МэВ – масса мезона  $a_1(1260)$  [22].

**3. Процесс  $\tau^- \rightarrow K^- \eta \nu_\tau$  в расширенной модели НИЛ.** Процесс  $\tau^- \rightarrow K^- \eta \nu_\tau$  в расширенной модели НИЛ может быть описан диаграммами, изображенными на рис. 1, 2.

Амплитуда этого процесса принимает вид:

$$\begin{aligned} M_{\text{tree}} &= -2G_f V_{us} \left( I_{11}^{K\eta^u} + \sqrt{2}I_{11}^{K\eta^s} \right) \times \\ &\times L_\mu \left[ \left( T_K^{(c)} p_K - T_\eta^{(c)} p_\eta \right)^\mu + \frac{C_{K^*}}{g_{K^*}} \times \right. \\ &\times \frac{I_{11}^{KK^*\eta^u} + \sqrt{2}I_{11}^{KK^*\eta^s}}{I_{11}^{K\eta^u} + \sqrt{2}I_{11}^{K\eta^s}} \times \\ &\times \frac{g^{\mu\nu} q^2 f(q^2) - q^\mu q^\nu f(M_{K^*}^2)}{M_{K^*}^2 - q^2 - i\sqrt{q^2}\Gamma_{K^*}} \times \\ &\times \left( T_K^{(K^*)} p_K - T_\eta^{(K^*)} p_\eta \right)_\nu + \frac{C_{K^{*'}}}{g_{K^{*'}}} \times \\ &\times \frac{I_{11}^{KK^{*'}\eta^u} + \sqrt{2}I_{11}^{KK^{*'}\eta^s}}{I_{11}^{K\eta^u} + \sqrt{2}I_{11}^{K\eta^s}} \times \\ &\times \frac{g^{\mu\nu} q^2 f(q^2) - q^\mu q^\nu f(M_{K^{*'}}^2)}{M_{K^{*'}}^2 - q^2 - i\sqrt{q^2}\Gamma_{K^{*'}}} \times \\ &\times \left. \left( T_K^{(K^{*'})} p_K - T_\eta^{(K^{*'})} p_\eta \right)_\nu \right], \end{aligned} \quad (15)$$

где  $G_f$  – константа Ферми,  $V_{us}$  – элемент матрицы Кабиббо–Кобаяши–Маскава,  $L_\mu$  – лептонный ток, выражение  $f(q^2)$  принимает вид:

$$f(q^2) = 1 - \frac{3(m_s - m_u)^2}{2q^2}. \quad (16)$$

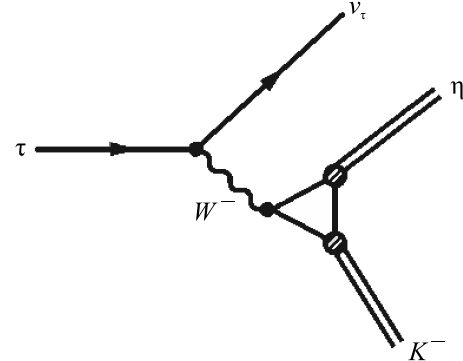


Рис. 1. Контактная диаграмма

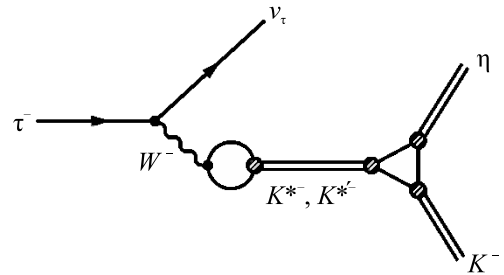


Рис. 2. Диаграмма с промежуточными мезонами

Множители  $T$  описывают переходы между аксиально-векторными и псевдоскалярными мезонами:

$$\begin{aligned} T_K^{(c)} &= 1 - 2\frac{m_s I_{11}^{K_1\eta^u} + \sqrt{2}m_u I_{11}^{K_1\eta^s}}{I_{11}^{K\eta^u} + \sqrt{2}I_{11}^{K\eta^s}} I_{11}^{K_1K} \frac{m_s + m_u}{M_{K_{1A}}^2}, \\ T_\eta^{(c)} &= 1 - 2\frac{I_{11}^{Kf^u} I_{20}^{f^u\eta^u}}{I_{11}^{K\eta^u} + \sqrt{2}I_{11}^{K\eta^s}} \frac{m_u(3m_u - m_s)}{M_{f_1^u}^2} - \\ &- 2\sqrt{2}\frac{I_{11}^{Kf^s} I_{02}^{f^s\eta^s}}{I_{11}^{K\eta^u} + \sqrt{2}I_{11}^{K\eta^s}} \frac{m_s(3m_s - m_u)}{M_{f_1^s}^2}, \\ T_K^{(K^*)} &= 1 - 2\frac{m_s I_{11}^{K^*K_1\eta^u} + \sqrt{2}m_u I_{11}^{K^*K_1\eta^s}}{I_{11}^{KK^*\eta^u} + \sqrt{2}I_{11}^{KK^*\eta^s}} \times \\ &\times I_{11}^{K_1K} \frac{m_s + m_u}{M_{K_{1A}}^2}, \\ T_\eta^{(K^*)} &= 1 - 2\frac{I_{11}^{K^*Kf^u} I_{20}^{f^u\eta^u}}{I_{11}^{K^*K\eta^u} + \sqrt{2}I_{11}^{K^*K\eta^s}} \frac{m_u(3m_u - m_s)}{M_{f_1^u}^2} - \\ &- 2\sqrt{2}\frac{I_{11}^{K^*Kf^s} I_{02}^{f^s\eta^s}}{I_{11}^{K^*K\eta^u} + \sqrt{2}I_{11}^{K^*K\eta^s}} \frac{m_s(3m_s - m_u)}{M_{f_1^s}^2}, \end{aligned}$$

$$\begin{aligned}
T_K^{(K^{*'})} &= 1 - 2 \frac{m_s I_{11}^{K^{*'} K_1 \eta^u} + \sqrt{2} m_u I_{11}^{K^{*'} K_1 \eta^s}}{I_{11}^{K^{*'} K^{*'} \eta^u} + \sqrt{2} I_{11}^{K^{*'} K^{*'} \eta^s}} \times \\
&\quad \times I_{11}^{K_1 K} \frac{m_s + m_u}{M_{K_{1A}}^2}, \\
T_\eta^{(K^{*'})} &= 1 - 2 \frac{I_{11}^{K^{*'} K f^u} I_{20}^{f^u \eta^u}}{I_{11}^{K^{*'} K \eta^u} + \sqrt{2} I_{11}^{K^{*'} K \eta^s}} \times \\
&\quad \times \frac{m_u (3m_u - m_s)}{M_{f_1^u}^2} - \\
&\quad - 2\sqrt{2} \frac{I_{11}^{K^{*'} K f^s} I_{02}^{f^s \eta^s}}{I_{11}^{K^{*'} K \eta^u} + \sqrt{2} I_{11}^{K^{*'} K \eta^s}} \frac{m_s (3m_s - m_u)}{M_{f_1^s}^2}. \quad (17)
\end{aligned}$$

Интегралы с вершинами из лагранжиана в числителе, также используемые в амплитуде:

$$\begin{aligned}
I_{n_1 n_2, \dots, M', \dots} &= -i \frac{N_c}{(2\pi)^4} \times \\
&\quad \times \int \frac{A_M \dots B_M \dots}{(m_u^2 - k^2)^{n_1} (m_s^2 - k^2)^{n_2}} \Theta(\Lambda^2 - \mathbf{k}^2) d^4 k, \quad (18)
\end{aligned}$$

где  $A_M, B_M$  определены в (2) и в (3).

Константы  $C_{K^*}$  и  $C_{K^{*'}}$

$$\begin{aligned}
C_{K^*} &= \frac{1}{\sin(2\theta_{K^*}^0)} \times \\
&\quad \times [\sin(\theta_{K^*} + \theta_{K^*}^0) + R_{K^*} \sin(\theta_{K^*} - \theta_{K^*}^0)], \\
C_{K^{*'}} &= \frac{-1}{\sin(2\theta_{K^{*'}}^0)} \times \\
&\quad \times [\cos(\theta_{K^*} + \theta_{K^*}^0) + R_{K^*} \cos(\theta_{K^*} - \theta_{K^*}^0)] \quad (19)
\end{aligned}$$

возникают в переходах между  $W$ -бозоном и промежуточным векторным мезоном. Здесь  $\theta$  – угол смешивания основных и возбужденных состояний, определенный в (7). Величины  $\theta^0$  и  $R$  определены в (8).

Данный мезонный треугольник приводит к интегралу

$$\begin{aligned}
F_\mu &= \int \frac{(T_K^{(K^*)} k - (T_K^{(K^*)} + T_\eta^{(K^*)}) p_\eta)_\lambda (T_\eta^{(K^*)} k + (T_K^{(K^*)} + T_\eta^{(K^*)}) p_K)_\nu ((T_K^{(K^*)} + T_\eta^{(K^*)}) k + T_\eta^{(K^*)} p_K - T_K^{(K^*)} p_\eta)_\mu (g^{\nu\lambda} - \frac{k^\nu k^\lambda}{M_{K^*}^2})}{[k^2 - M_{K^*}^2][(k+p_K)^2 - M_\eta^2][(k-p_\eta)^2 - M_K^2]} \\
&\quad \times \frac{d^4 k}{(2\pi)^4}. \quad (23)
\end{aligned}$$

Как видно, данный интеграл по структуре схож с интегралом по мезонному треугольнику для процесса  $\tau \rightarrow K \pi \nu_\tau$  [13].

В итоге амплитуда дополнительного вклада от мезонной петли процесса  $\tau^- \rightarrow K^- \eta \nu_\tau$  принимает вид:

$$\begin{aligned}
M_{\text{loop}} &= 8i G_f V_{us} \left( I_{11}^{K \eta^u} + \sqrt{2} I_{11}^{K \eta^s} \right)^3 L_\mu \left[ g^{\mu\nu} + \frac{C_{K^*}}{g_{K^*}} \left( \frac{I_{11}^{K K^* \eta^u} + \sqrt{2} I_{11}^{K K^* \eta^s}}{I_{11}^{K \eta^u} + \sqrt{2} I_{11}^{K \eta^s}} \right)^3 \times \right. \\
&\quad \times \frac{g^{\mu\nu} q^2 f(q^2) - q^\mu q^\nu f(M_{K^*}^2)}{M_{K^*}^2 - q^2 - i\sqrt{q^2} \Gamma_{K^*}} + \frac{C_{K^{*'}}}{g_{K^*}} \left( \frac{I_{11}^{K K^{*'} \eta^u} + \sqrt{2} I_{11}^{K K^{*'} \eta^s}}{I_{11}^{K \eta^u} + \sqrt{2} I_{11}^{K \eta^s}} \right)^3 \frac{g^{\mu\nu} q^2 f(q^2) - q^\mu q^\nu f(M_{K^{*'}}^2)}{M_{K^{*'}}^2 - q^2 - i\sqrt{q^2} \Gamma_{K^{*'}}} \left. \right] F_\nu. \quad (24)
\end{aligned}$$

Первое слагаемое амплитуды в квадратных скобках соответствует контактной диаграмме, второе и третье слагаемые – диаграммам с промежуточными основным и возбужденным векторными мезонами  $K^*$  (892) и  $K^*$  (1410).

Данная амплитуда приводит к следующему значению парциальной ширины этого распада:

$$Br(\tau^- \rightarrow K^- \eta \nu_\tau)_{\text{tree}} = 1.35 \times 10^{-4}. \quad (20)$$

Экспериментальное значение [22]:

$$Br(\tau^- \rightarrow K^- \eta \nu_\tau)_{\text{exp}} = (1.55 \pm 0.08) \times 10^{-4}. \quad (21)$$

Как видно, полученный результат несколько ниже экспериментального значения. Это может говорить о необходимости учета дополнительных эффектов, таких как взаимодействие мезонов в конечном состоянии.

**4. Процесс  $\tau^- \rightarrow K^- \eta \nu_\tau$  с учетом взаимодействия в конечном состоянии.** Взаимодействие в конечном состоянии в данном процессе может быть учтено через обмен заряженным мезоном  $K^*$  между конечными каоном и  $\eta$ -мезоном, в результате чего они меняются местами. Это приводит к треугольнику, изображенному на рис. 3. Мезонная вершина лагранжиана, необходимая для построения этого треугольника в расширенной модели НИЛ, имеет вид:

$$\begin{aligned}
&-i2 \left( I_{11}^{K K^* \eta^u} + \sqrt{2} I_{11}^{K K^* \eta^s} \right) \times \\
&\quad \times K_\mu^{*-} \left( T_K^{(K^*)} \partial^\mu K^+ \eta - T_\eta^{(K^*)} K^+ \partial^\mu \eta \right). \quad (22)
\end{aligned}$$

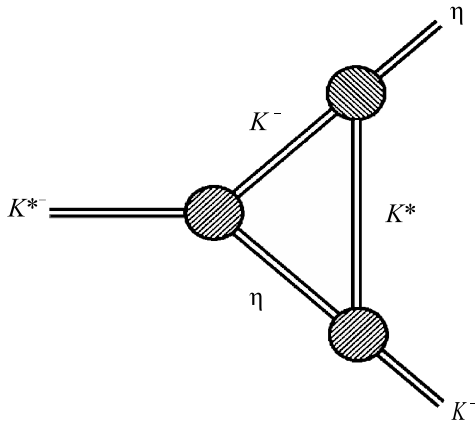


Рис. 3. Мезонный треугольник

Если использовать параметр обрезания, равный тому, который применялся в процессе  $\tau \rightarrow K \pi \nu_\tau$  при сравнении с результатами из Particle Data Group (PDG) [13] ( $\Lambda_M = 950$  МэВ), то частичная ширина данного процесса согласуется с экспериментальным значением:

$$Br(\tau^- \rightarrow K^- \eta \nu_\tau) = 1.56 \times 10^{-4}. \quad (25)$$

**5. Заключение.** В данной, а также в предыдущей [13] нашей работе были рассмотрены процессы  $\tau \rightarrow K^- \eta \nu_\tau$  и  $\tau \rightarrow K^- \pi^0 \nu_\tau$  соответственно. Эти процессы уже рассматривались нами ранее с использованием модели НИЛ [4]. Однако в тех работах были допущены существенные неточности: в константе перенормировки  $Z_K$ , определенной в (9), не учитывалось расщепление мезона  $K_1$  на два состояния, кроме того, не учитывались переходы между аксиально векторным и псевдоскалярным мезонами, а также присутствовал ряд других недостатков. Поэтому предыдущие результаты не следует принимать во внимание. В работе [13] мы заново исследовали процесс  $\tau \rightarrow K^- \pi^0 \nu_\tau$ , а в данной работе процесс  $\tau \rightarrow K^- \eta \nu_\tau$  без этих недостатков. В результате учета взаимодействия в конечном состоянии появился новый параметр – обрезание по мезонной петле, который при сравнении с данными из PDG оказался одинаковым для обоих процессов.

Рассмотренный здесь распад также исследовался и в других теоретических работах. Например, можно выделить работу [21]. В ней рассматривались разные способы учета взаимодействия в конечном состоянии в рамках киральной теории возмущений с резонансами. Непосредственное использование этих способов в сочетании с моделью НИЛ невозможно в силу несогласованности соответствующих подходов. Вариант учета взаимодействия мезонов в конечном состоянии, использованный в настоящей работе,

допускает применение модели НИЛ, хоть и требует небольшого выхода за ее рамки.

Как было указано во Введении, нами были вычислены многочисленные распады тау лептона с участием векторных мезонов без учета взаимодействия в конечном состоянии. Тем не менее, для них были получены удовлетворительные результаты. Поэтому до сих пор остается вопрос, при каких условиях этот учет взаимодействия мезонов в конечном состоянии играет важную роль, и когда им можно пренебречь. Эту проблему авторы собираются рассматривать в будущих работах.

Авторы выражают благодарность А. Б. Арбузову за интерес к данной работе и полезные обсуждения.

1. M. K. Volkov, *Sov. J. Part. Nucl.* **17**, 186 (1986).
2. M. K. Volkov, *Phys. Part. Nucl.* **24**, 35 (1993).
3. M. K. Volkov and A. E. Radzhabov, *Phys.-Uspekhi* **49**, 551 (2006).
4. M. K. Volkov and A. B. Arbuzov, *Phys.-Uspekhi* **60**(7), 643 (2017).
5. M. K. Volkov, K. Nurlan, and A. A. Pivovarov, *JETP Lett.* **106**(12), 771 (2017).
6. M. K. Volkov, K. Nurlan, and A. A. Pivovarov, *Int. J. Mod. Phys. A* **34**(24), 1950137 (2019).
7. M. K. Volkov, A. A. Pivovarov, and K. Nurlan, *Eur. Phys. J. A* **55**(9), 165 (2019).
8. M. K. Volkov and A. A. Pivovarov, *Pisma ZhETF* **109**(4), 219 (2019); Erratum: *JETP Lett.* **109**(12), 821 (2019).
9. M. K. Volkov and A. A. Pivovarov, *JETP Lett.* **110**(4), 237 (2019).
10. M. K. Volkov, A. A. Pivovarov, and K. Nurlan, *Int. J. Mod. Phys. A* **35**(06), 2050035 (2020).
11. M. K. Volkov, A. A. Pivovarov, and K. Nurlan, *Nucl. Phys. A* **1000**, 121810 (2020).
12. M. K. Volkov, A. B. Arbuzov, and A. A. Pivovarov, *JETP Lett.* **112**(8), 457 (2020).
13. M. K. Volkov and A. A. Pivovarov, *Pis'ma v ZhETF* **113**(12), 777 (2021).
14. M. K. Volkov and C. Weiss, *Phys. Rev. D* **56**, 221 (1997).
15. M. K. Volkov, *Phys. Atom. Nucl.* **60**, 1920 (1997).
16. J. E. Bartelt, S. E. Csorna, and V. Jain et al. (CLEO), *Phys. Rev. Lett.* **76**, 4119 (1996).
17. D. Buskulic, I. De Bonis, D. Decamp et al. (ALEPH), *Z. Phys. C* **74**, 263 (1997).
18. K. Inami, T. Ohshima, H. Kaji et al. (Belle), *Phys. Lett. B* **672**, 209 (2009).
19. P. del Amo Sanchez, J. P. Lees, V. Poireau et al. (BaBar), *Phys. Rev. D* **83**, 032002 (2011).
20. B. A. Li, *Phys. Rev. D* **55**, 1436 (1997).
21. R. Escribano, S. Gonzalez-Solis, and P. Roig, *JHEP* **10**, 039 (2013).
22. P. A. Zyla, R. M. Barnett, J. Beringer et al. (Particle Data Group), *PTEP* **2020**(8), 083C01 (2020).